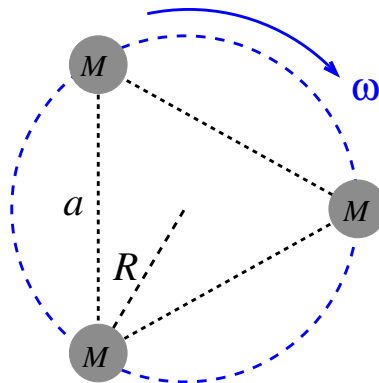


**Q. 1 [mcPT1a]**

Uma configuração central é aquela em que a atração gravitacional mútua de vários corpos resulta numa força total sobre cada um deles que aponta para o centro de massa do sistema. A configuração central ilustrada na figura, descrita por Lagrange, permite que três corpos de massas iguais a  $M$  girem com velocidade angular  $\omega$  em órbita circular de raio  $R$  em torno do centro do triângulo equilátero de lado  $a = \sqrt{3}R$ . Qual deve ser a velocidade de revolução  $\omega$  desses corpos para que eles permaneçam em órbita circular em torno do centro do triângulo?



☐  $\omega = \sqrt{\frac{3GM}{a^3}}$

☐  $\omega = \sqrt{\frac{\sqrt{3}GM}{a^3}}$

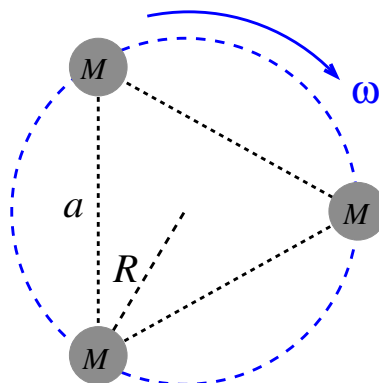
☐  $\omega = \sqrt{\frac{GM}{3a^3}}$

☐  $\omega = \sqrt{\frac{3GM}{2a^3}}$

☐  $\omega = \sqrt{\frac{2GM}{3a^3}}$

**Q. 2 [mcPT1b]**

Uma configuração central é aquela em que a atração gravitacional mútua de vários corpos resulta numa força total sobre cada um deles que aponta para o centro de massa do sistema. A configuração central ilustrada na figura, descrita por Lagrange, permite que três corpos de massas iguais a  $M$  girem com velocidade angular  $\omega$  em órbita circular de raio  $R$  em torno do centro do triângulo equilátero de lado  $a = \sqrt{3}R$ . Qual deve ser o comprimento  $a$  do lado do triângulo para que esses corpos permaneçam em órbita circular em torno do centro do triângulo?



☐  $a = \left(\frac{3GM}{\omega^2}\right)^{\frac{1}{3}}$

☐  $a = \left(\frac{\sqrt{3}GM}{\omega^2}\right)^{\frac{1}{3}}$

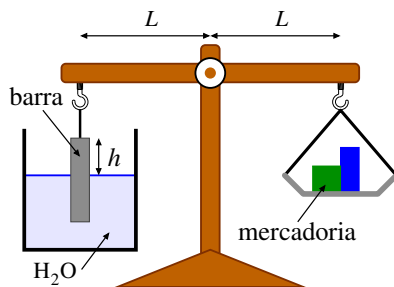
☐  $a = \left(\frac{2GM}{3\omega^2}\right)^{\frac{1}{3}}$

☐  $a = \left(\frac{3GM}{2\omega^2}\right)^{\frac{1}{3}}$

☐  $a = \left(\frac{GM}{3\omega^2}\right)^{\frac{1}{3}}$

**Q. 3 [mcPT2a]**

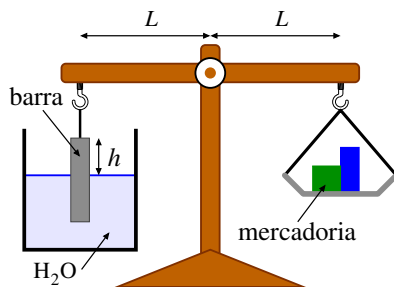
A figura ilustra uma balança de braços de comprimento  $L = 30$  cm, uma barra homogênea de densidade  $\rho = 5,0$  g/cm<sup>3</sup> e de massa  $M = 5,0$  kg e um balde grande para armazenar água (cuja densidade é  $1,0$  g/cm<sup>3</sup>). Movendo-se o balde para cima ou para baixo até que os braços da balança fiquem perfeitamente horizontais, e então medindo o comprimento emerso  $h$  da barra, pode-se obter a massa da mercadoria. Qual o intervalo de massas que pode ser medido com essa balança?



- ☒ Entre 4,0 e 5,0 kg.
- ☐ Entre 0,0 e 5,0 kg.
- ☐ Entre 0,0 e 15 kg.
- ☐ Entre 1,0 e 5,0 kg.
- ☐ Não há dados suficientes. Precisa-se do comprimento da barra.

**Q. 4 [mcPT2b]**

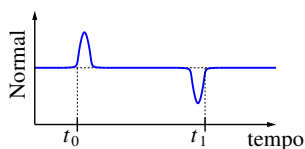
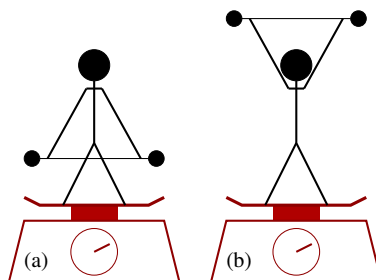
A figura ilustra uma balança de braços de comprimento  $L = 40$  cm, uma barra homogênea de densidade  $\rho = 3,0$  g/cm<sup>3</sup> e de massa  $M = 6,0$  kg e um balde grande para armazenar água (cuja densidade é  $1,0$  g/cm<sup>3</sup>). Movendo-se o balde para cima ou para baixo até que os braços da balança fiquem perfeitamente horizontais, e então medindo o comprimento emerso  $h$  da barra, pode-se obter a massa da mercadoria. Qual o intervalo de massas que pode ser medido com essa balança?



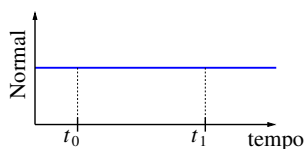
- ☒ Entre 4,0 e 6,0 kg.
- ☐ Entre 0,0 e 6,0 kg.
- ☐ Entre 0,0 e 2,4 kg.
- ☐ Entre 2,0 e 6,0 kg.
- ☐ Não há dados suficientes. Precisa-se do comprimento da barra.

Q. 5 [mcPT3a]

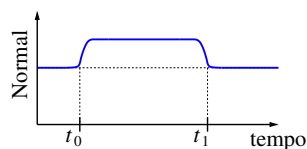
Uma pessoa carregando uma barra com pesos encontra-se sobre os pratos de uma balança de precisão, como ilustrado na figura (a). No instante  $t_0$ , a pessoa inicia o levantamento do peso terminando de erguê-lo no instante  $t_1$ , como ilustra a figura (b). Qual das alternativas abaixo melhor representa a magnitude da força normal entre a pessoa e a balança?



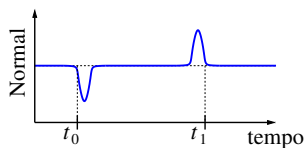
C



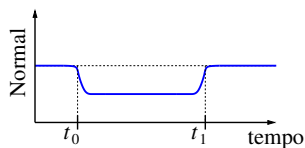
E



B

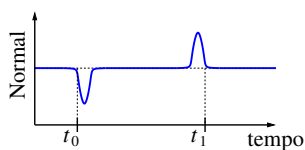
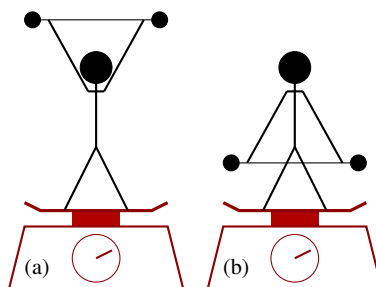


D

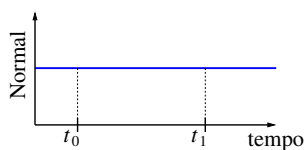


Q. 6 [mmPT3b]

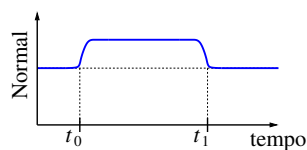
Uma pessoa carregando uma barra com pesos encontra-se sobre os pratos de uma balança de precisão, como ilustrado na figura (a). No instante  $t_0$ , a pessoa inicia o abaixamento do peso terminando de fazê-lo no instante  $t_1$ , como ilustra a figura (b). Qual das alternativas abaixo melhor representa a magnitude da força normal entre a pessoa e a balança?



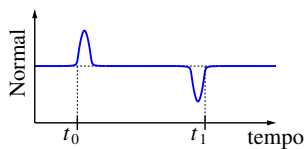
C



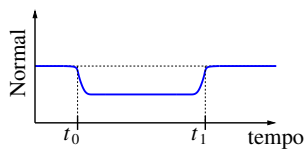
E



B

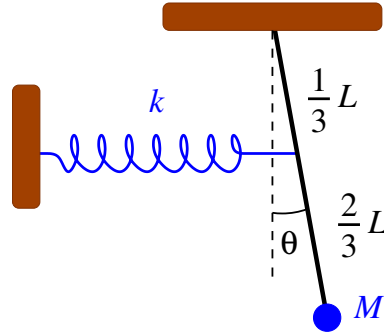


D



**Q. 7 [mcPT4a]**

O pêndulo da figura, formado por uma barra rígida de massa desprezível e comprimento  $L$  com uma massa pontual  $M$  suspensa, está ligado a uma mola horizontal e longa de massa desprezível e constante de mola  $k$  a uma distância  $L/3$  de seu eixo de rotação. A mola está relaxada quando o pêndulo se encontra na posição vertical de equilíbrio  $\theta = 0$ . Sendo  $g$  a aceleração da gravidade, considere as seguintes afirmações tendo em mente o regime de pequenas oscilações, ou seja, pequenas amplitudes de oscilação em torno do equilíbrio  $\theta \ll 1$ , onde  $\cos \theta \approx 1 - \frac{1}{2}\theta^2$  e  $\sin \theta \approx \theta$ .



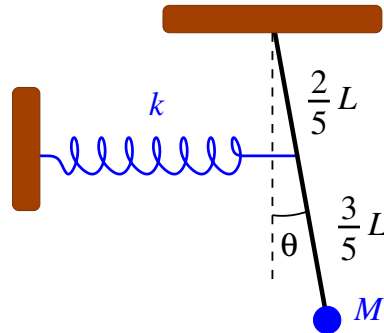
- I. A energia potencial gravitacional é conservada durante o movimento.
- II. A energia mecânica do sistema é  $E = \frac{1}{2}ML^2 \left[ \dot{\theta}^2 + \left( \frac{g}{L} + \frac{k}{9M} \right) \theta^2 \right]$ .
- III. A frequência de oscilação é  $\omega = \sqrt{\frac{g}{L} + \frac{k}{9M}}$ .

Qual das alternativas abaixo é a verdadeira?

- ☐ Apenas as afirmações II e III são verdadeiras.
- ☐ Nenhuma das outras alternativas.
- ☐ Apenas a afirmação I é verdadeira.
- ☐ Apenas as afirmações I e III são verdadeiras.
- ☐ A afirmação I é verdadeira e a afirmação II é falsa.

**Q. 8 [mcPT4b]**

O pêndulo da figura, formado por uma barra rígida de massa desprezível e comprimento  $L$  com uma massa pontual  $M$  suspensa, está ligado a uma mola horizontal e longa de massa desprezível e constante de mola  $k$  a uma distância  $2L/5$  de seu eixo de rotação. A mola está relaxada quando o pêndulo se encontra na posição vertical de equilíbrio  $\theta = 0$ . Sendo  $g$  a aceleração da gravidade, considere as seguintes afirmações tendo em mente o regime de pequenas oscilações, ou seja, pequenas amplitudes de oscilação em torno do equilíbrio,  $\theta \ll 1$  onde  $\cos \theta \approx 1 - \frac{1}{2}\theta^2$  e  $\sin \theta \approx \theta$ .



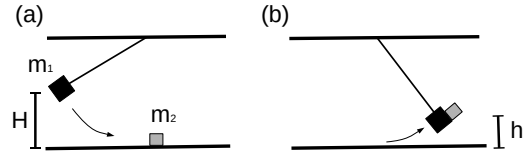
- I. A energia potencial elástica é conservada durante o movimento.
- II. A energia mecânica do sistema é  $E = \frac{1}{2}ML^2 \left[ \dot{\theta}^2 + \left( \frac{g}{L} + \frac{4k}{25M} \right) \theta^2 \right]$ .
- III. A frequência de oscilação é  $\omega = \sqrt{\frac{g}{L} + \frac{4k}{25M}}$ .

Qual das alternativas abaixo é a verdadeira?

- ☐ Apenas as afirmações II e III são verdadeiras.
- ☐ Nenhuma das outras alternativas.
- ☐ Apenas a afirmação I é verdadeira.
- ☐ Apenas as afirmações I e III são verdadeiras.
- ☐ A afirmação I é verdadeira e a afirmação II é falsa.

**Q. 9 [mcPT5a]**

Um sistema composto por um pêndulo simples de massa  $m_1 = 2M$  é solto do repouso a partir de uma altura  $H$  em relação ao solo, conforme ilustrado na figura (a). Ao passar pelo ponto mais baixo de sua trajetória, a partícula de massa  $m_1$  colide com outra partícula de massa  $m_2 = M$ , que está em repouso no solo. Após a colisão, as duas partículas se movem juntas, formando um novo pêndulo, como mostrado na figura (b).



Qual é a altura máxima  $h$  que as duas massas subirão após a colisão, em termos de  $H$ ? Considere que a resistência do ar e o atrito da massa  $m_2$  com o solo são desprezíveis.

☒  $h = \frac{4}{9}H$

☐  $h = \frac{1}{3}H$

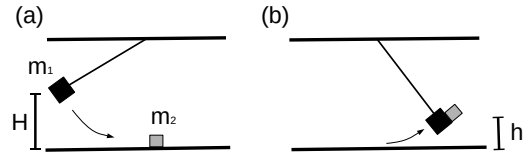
☐  $h = \frac{8}{9}H$

☐  $h = \frac{2}{3}H$

☐  $h = \frac{1}{9}H$

**Q. 10 [mcPT5b]**

Um sistema composto por um pêndulo simples de massa  $m_1 = 3M$  é solto do repouso a partir de uma altura  $H$  em relação ao solo, conforme ilustrado na figura (a). Ao passar pelo ponto mais baixo de sua trajetória, a partícula de massa  $m_1$  colide com outra partícula de massa  $m_2 = M$ , que está em repouso no solo. Após a colisão, as duas partículas se movem juntas, formando um novo pêndulo, como mostrado na figura (b).



Qual é a altura máxima  $h$  que as duas massas subirão após a colisão, em termos de  $H$ ? Considere que a resistência do ar e o atrito da massa  $m_2$  com o solo são desprezíveis.

☒  $h = \frac{9}{16}H$

☐  $h = \frac{1}{4}H$

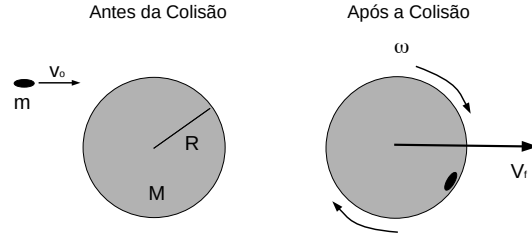
☐  $h = \frac{3}{16}H$

☐  $h = \frac{3}{4}H$

☐  $h = \frac{1}{16}H$

**Q. 11 [ mcPT6a]**

Um projétil de massa  $m$  e velocidade de módulo  $v_0$  move-se em direção a um disco homogêneo de massa  $M \gg m$  e raio  $R$ , que está em repouso sobre uma superfície sem atrito, conforme ilustrado na figura (visto de cima). O projétil colide inelasticamente com o disco, ficando alojado na sua periferia a uma distância  $r \approx R$  do centro do disco. Com isso, o sistema “disco + projétil” adquire um movimento combinado de translação, com velocidade linear de módulo  $V_f$ , e de rotação em torno do centro de massa, com velocidade angular  $\omega$ .

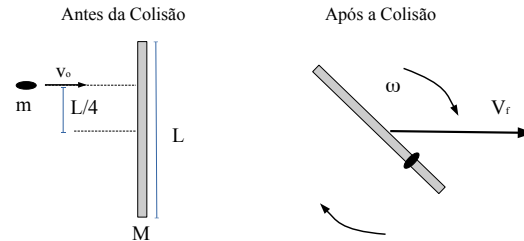


Assumindo que o centro de massa do sistema “disco + projétil” após a colisão está aproximadamente no centro do disco, quais são os valores de  $V_f$  e  $\omega$ ? Assuma também que  $(M + m) \approx M$  e que o momento de inércia do sistema “disco + projétil” é aproximadamente o momento de inércia do disco em relação ao centro de massa, i.e.,  $I \approx I_{CM} = \frac{MR^2}{2}$ .

- ☒  $V_f = \frac{m}{M} v_0$  e  $\omega = 2 \frac{m}{M} \frac{v_0}{R}$
- ☐  $V_f = \frac{m}{M} v_0$  e  $\omega = \frac{1}{2} \frac{m}{M} \frac{v_0}{R}$
- ☐  $V_f = \frac{m}{M} v_0$  e  $\omega = \frac{m}{M} \frac{v_0}{R}$
- ☐  $V_f = \frac{1}{2} \frac{m}{M} v_0$  e  $\omega = \frac{m}{M} \frac{v_0}{R}$
- ☐  $V_f = \sqrt{\frac{m}{M}} v_0$  e  $\omega = \frac{m}{M} \frac{v_0}{R}$

**Q. 12 [mcPT6b]**

Um projétil de massa  $m$  e velocidade de módulo  $v_0$  move-se em direção a uma barra delgada homogênea de massa  $M \gg m$  e comprimento  $L$ , que está em repouso sobre uma superfície sem atrito, conforme ilustrado na figura (visto de cima). O projétil colide inelasticamente com a barra, ficando alojado a uma distância  $L/4$  do seu centro. Com isso, o sistema “barra + projétil” adquire um movimento combinado de translação, com velocidade linear de módulo  $V_f$ , e de rotação em torno do centro de massa, com velocidade angular  $\omega$ .



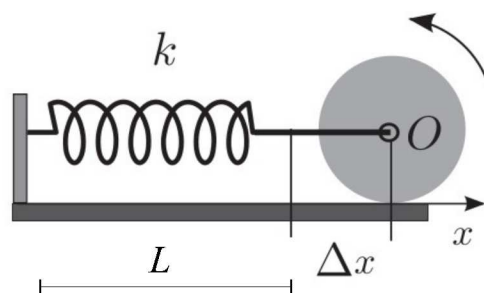
Assumindo que o centro de massa do sistema “barra + projétil” após a colisão está aproximadamente no centro da barra, quais são os valores de  $V_f$  e  $\omega$ ? Assuma também que  $(M + m) \approx M$  e que o momento de inércia do sistema “barra + projétil” é aproximadamente o momento de inércia de uma barra delgada homogênea em relação ao centro de massa, i.e.,  $I \approx I_{CM} = \frac{ML^2}{12}$ .

- ☒  $V_f = \frac{m}{M} v_0$  e  $\omega = 3 \frac{m}{M} \frac{v_0}{L}$
- ☐  $V_f = \frac{m}{M} v_0$  e  $\omega = 12 \frac{m}{M} \frac{v_0}{L}$
- ☐  $V_f = \frac{m}{M} v_0$  e  $\omega = 6 \frac{m}{M} \frac{v_0}{L}$
- ☐  $V_f = \frac{1}{2} \frac{m}{M} v_0$  e  $\omega = 3 \frac{m}{M} \frac{v_0}{L}$
- ☐  $V_f = \frac{1}{2} \frac{m}{M} v_0$  e  $\omega = \sqrt{\frac{12m}{M}} \frac{v_0}{L}$

**Questão anulada**

Q. 13 [mcPT7a]

A figura mostra um sistema composto por uma mola de massa desprezível, constante elástica  $k$  e comprimento relaxado  $L$ , com uma das extremidades presa a uma parede fixa e a outra ligada ao centro de um disco homogêneo de massa  $M$  e raio  $R$ . Sabendo que o disco rola sem deslizar sobre uma superfície horizontal rugosa (i.e., sob a ação de atrito estático), determine a frequência angular  $\omega_0$  de oscilação do sistema disco-mola no regime de pequenas oscilações ( $\Delta x \ll L$ ). O momento de inércia do disco em relação ao eixo perpendicular a ele que passa por seu centro é  $I_{CM} = \frac{1}{2}MR^2$ .



☒  $\omega_0 = \sqrt{\frac{2}{3} \frac{k}{M}}$

☐  $\omega_0 = \sqrt{\frac{3}{2} \frac{k}{M}}$

☐  $\omega_0 = \sqrt{2 \frac{k}{M}}$

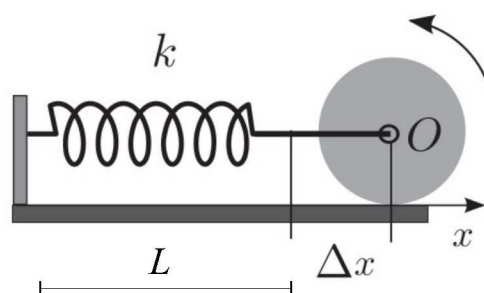
☐  $\omega_0 = \sqrt{\frac{k}{M}}$

☐  $\omega_0 = \sqrt{\frac{1}{3} \frac{k}{M}}$

Q. 14 [mcPT7b]

**Questão anulada**

A figura mostra um sistema composto por uma mola de massa desprezível, constante elástica  $k$  e comprimento relaxado  $L$ , com uma das extremidades presa a uma parede fixa e a outra acoplada a um eixo leve que passa pelo centro de uma esfera maciça homogênea de massa  $M$  e raio  $R$ . Sabendo que a esfera rola sem deslizar sobre uma superfície horizontal rugosa (i.e., sob a ação de atrito estático), determine a frequência angular  $\omega_0$  de oscilação do sistema esfera-mola no regime de pequenas oscilações ( $\Delta x \ll L$ ). O momento de inércia da esfera em relação ao eixo é  $I_{CM} = \frac{1}{2}MR^2$ .



☒  $\omega_0 = \sqrt{\frac{5}{7} \frac{k}{M}}$

☐  $\omega_0 = \sqrt{\frac{7}{5} \frac{k}{M}}$

☐  $\omega_0 = \sqrt{\frac{2}{5} \frac{k}{M}}$

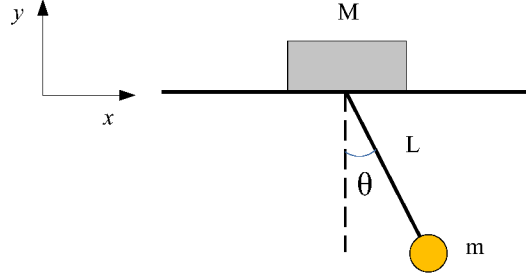
☐  $\omega_0 = \sqrt{\frac{k}{M}}$

☐  $\omega_0 = \sqrt{\frac{5}{2} \frac{k}{M}}$

as questões foram anuladas porque o momento de inércia fornecido para a esfera na versão B ficou inadvertidamente igual ao da versão A, embora na versão em inglês ambas as versões estejam corretas. Todos os alunos receberam os pontos dessa questão.

**Q. 15 [mcPT8a]**

Um bloco de massa  $M$  é confinado a se movimentar sobre um trilho de ar com atrito desprezível, sua posição sendo descrita pela coordenada  $x$  ( $y = 0$ ). Preso a esse bloco, há uma haste de massa desprezível e comprimento  $L$ , com uma partícula de massa  $m$  presa na outra extremidade, sob a ação da força gravitacional. A massa  $m$  pode oscilar no plano  $xy$ , fazendo um ângulo  $\theta$  com a vertical, como ilustrado na figura. Expressando a lagrangiana  $\mathcal{L}$  do sistema em termos de  $(x, \theta, \dot{x}, \dot{\theta})$ , encontre o momento canônico  $p_x = \frac{\partial \mathcal{L}}{\partial \dot{x}}$ .



☒  $p_x = (m + M)\dot{x} + mL\dot{\theta} \cos \theta.$

☐  $p_x = (m + M)\dot{x}.$

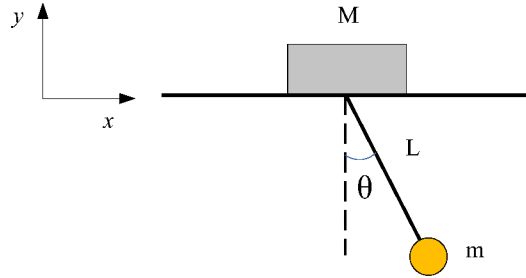
☐  $p_x = (m + M)\dot{x} + mL\dot{\theta} \sin \theta.$

☐  $p_x = (m + M)\dot{x} - mL\dot{\theta} \sin \theta.$

☐  $p_x = (m + M)\dot{x} - mL\dot{\theta} \cos \theta.$

**Q. 16 [mcPT8b]**

Um bloco de massa  $M$  é confinado a se movimentar sobre um trilho de ar com atrito desprezível, sua posição sendo descrita pela coordenada  $x$  ( $y = 0$ ). Preso a esse bloco, há uma haste de massa desprezível e comprimento  $L$ , com uma partícula de massa  $m$  presa na outra extremidade, sob a ação da força gravitacional. A massa  $m$  pode oscilar no plano  $xy$ , fazendo um ângulo  $\theta$  com a vertical, como ilustrado na figura. Expressando a lagrangiana  $\mathcal{L}$  do sistema em termos de  $(x, \theta, \dot{x}, \dot{\theta})$ , encontre o momento canônico  $p_\theta = \frac{\partial \mathcal{L}}{\partial \dot{\theta}}$ .



☒  $p_\theta = mL^2\dot{\theta} + mL\dot{x} \cos \theta.$

☐  $p_\theta = mL^2\dot{\theta}.$

☐  $p_\theta = mL^2\dot{\theta} + mL\dot{x} \sin \theta.$

☐  $p_\theta = mL^2\dot{\theta} - mL\dot{x} \cos \theta.$

☐  $p_\theta = mL^2\dot{\theta} - mL\dot{x} \sin \theta.$

**Q. 17 [emPT1a]** Um isolante cilíndrico de raio  $R$ , infinitamente longo, possui uma distribuição uniforme de cargas com densidade volumétrica  $\nu > 0$ . Qual é o módulo do campo elétrico  $\mathbf{E}$  a uma distância  $\rho < R$  do eixo de simetria do cilindro?

☒  $E = \frac{\nu \rho}{2\epsilon_0}$

☐  $E = \frac{\nu \rho}{4\epsilon_0}$

☐  $E = \frac{2\nu \rho}{\epsilon_0}$

☐  $E = \frac{\nu R^2}{\epsilon_0 \rho}$

☐  $E = \frac{\nu R^2}{4\epsilon_0 \rho}$



**Q. 18 [emPT1b]** Um isolante cilíndrico de raio  $R$ , infinitamente longo, possui uma distribuição uniforme de cargas com densidade volumétrica  $\nu > 0$ . Qual é o módulo do campo elétrico  $\mathbf{E}$  a uma distância  $\rho > R$  do eixo de simetria do cilindro?

☐  $E = \frac{\nu R^2}{2\epsilon_0 \rho}$ 
☐  $E = \frac{\nu R^2}{4\epsilon_0 \rho}$ 
☐  $E = \frac{\nu \rho}{\epsilon_0}$ 
☐  $E = \frac{\nu \rho^2}{2\epsilon_0 R}$ 
☐  $E = \frac{\nu \rho^2}{4\epsilon_0 R}$

**Q. 19 [emPT2a]** Num determinado instante, um capacitor de capacitância  $C$ , totalmente carregado com uma carga  $Q_0$ , começa a descarregar através de um resistor de resistência  $R$ . Em qual instante  $t$  o capacitor terá a metade de sua carga inicial?

☐  $t = RC \ln 2$ 
☐  $t = \frac{1}{2} RC \ln 2$ 
☐  $t = 2RC \ln 3$   
☐  $t = RC \ln 3$ 
☐  $t = \frac{1}{3} RC \ln 3$

**Q. 20 [emPT2b]** Num determinado instante, um capacitor de capacitância  $C$ , totalmente carregado com uma carga  $Q_0$ , começa a descarregar através de um resistor de resistência  $R$ . Em qual instante  $t$  o capacitor terá um terço de sua carga inicial?

☐  $t = RC \ln 3$ 
☐  $t = \frac{1}{2} RC \ln 3$ 
☐  $t = 3RC \ln 3$   
☐  $t = RC \ln 2$ 
☐  $t = \frac{1}{3} RC \ln 2$

**Q. 21 [emPT3a]** Um cabo coaxial é constituído por um cilindro condutor interno de raio  $a$  envolto por uma casca cilíndrica externa condutora fina, coaxial ao cilindro interno e de raio  $b > a$ . O cilindro interno é percorrido por uma corrente  $I$  uniformemente distribuída em sua seção reta. O cilindro externo é percorrido por uma corrente de mesma intensidade, uniformemente distribuída na sua superfície, mas que flui em sentido oposto à corrente no cilindro interno. Considerando que o eixo de simetria do cabo coaxial é o eixo  $z$ , qual é o campo magnético  $\mathbf{B}$  na região  $0 < \rho < a$ , no interior do condutor interno?

☐  $\mathbf{B} = \frac{\mu_0 I \rho}{2\pi a^2} \hat{\varphi}$ 
☐  $\mathbf{B} = \frac{\mu_0 I \rho^2}{2\pi a^3} \hat{\varphi}$ 
☐  $\mathbf{B} = \frac{\mu_0 I a}{4\pi \rho^2} \hat{\varphi}$   
☐  $\mathbf{B} = \frac{\mu_0 I \rho}{4\pi a^2} \hat{\varphi}$ 
☐  $\mathbf{B} = \frac{\mu_0 I a}{2\pi \rho^2} \hat{\varphi}$

**Q. 22 [emPT3b]** Um cabo coaxial é constituído por um cilindro condutor interno de raio  $a$  envolto por uma casca cilíndrica externa condutora fina, coaxial ao cilindro interno e de raio  $b > a$ . O cilindro interno é percorrido por uma corrente  $I$  uniformemente distribuída em sua seção reta. O cilindro externo é percorrido por uma corrente de mesma intensidade, uniformemente distribuída na sua superfície, mas que flui em sentido oposto à corrente no cilindro interno. Considerando que o eixo de simetria do cabo coaxial é o eixo  $z$ , qual é o campo magnético  $\mathbf{B}$  na região  $a < \rho < b$  entre os condutores?

☐  $\mathbf{B} = \frac{\mu_0 I}{2\pi \rho} \hat{\varphi}$ 
☐  $\mathbf{B} = \frac{\mu_0 I a}{2\pi \rho^2} \hat{\varphi}$ 
☐  $\mathbf{B} = \frac{\mu_0 I b}{2\pi a \rho} \hat{\varphi}$   
☐  $\mathbf{B} = \frac{\mu_0 I}{4\pi \rho} \hat{\varphi}$ 
☐  $\mathbf{B} = \frac{\mu_0 I b}{2\pi \rho^2} \hat{\varphi}$

**Q. 23 [emPT4a]** Em uma determinada região do espaço o campo elétrico é dado, em coordenadas esféricas, por  $\mathbf{E} = \kappa r^2 \hat{r}$ , onde  $\kappa$  é uma constante. Qual é a densidade de carga  $\rho$  na região?

☐  $\rho = 4\kappa\epsilon_0 r$ 
☐  $\rho = 4\pi\kappa\epsilon_0 r$ 
☐  $\rho = \pi\kappa\epsilon_0 r$   
☐  $\rho = 2\pi\kappa\epsilon_0 r$ 
☐  $\rho = \kappa\epsilon_0 r$

**Q. 24 [emPT4b]** Em uma determinada região do espaço o campo elétrico é dado, em coordenadas esféricas, por  $\mathbf{E} = \kappa r^3 \hat{r}$ , onde  $\kappa$  é uma constante. Qual é a densidade de carga  $\rho$  na região?

☐  $\rho = 5\kappa\epsilon_0 r^2$

☐  $\rho = 5\pi\kappa\epsilon_0 r^2$

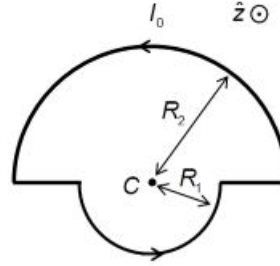
☐  $\rho = 10\kappa\epsilon_0 r^2$

☐  $\rho = 10\pi\kappa\epsilon_0 r^2$

☐  $\rho = 4\pi\kappa\epsilon_0 r^2$

**Q. 25 [emPT5a]**

Uma espira situa-se no plano  $xy$  e é formada por dois arcos de circunferência centrados na origem  $C$  de raios  $R_1$  e  $R_2 > R_1$  conectados por segmentos retos (ver figura). A corrente elétrica na espira é  $I_0$  e tem sentido anti-horário no arco de maior raio ( $R_2$ ) quando vista de cima ( $z > 0$ ). O campo magnético  $\mathbf{B}$  na origem  $C$  é dado por



☐  $\mathbf{B} = \frac{\mu_0 I_0}{4} \left( \frac{1}{R_1} + \frac{1}{R_2} \right) \hat{z}$

☐  $\mathbf{B} = 0$

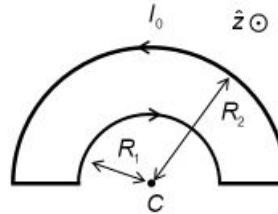
☐  $\mathbf{B} = -\frac{\mu_0 I_0}{4} \left( \frac{1}{R_1} + \frac{1}{R_2} \right) \hat{z}$

☐  $\mathbf{B} = \frac{\mu_0 I_0}{4} \left( \frac{1}{R_1} - \frac{1}{R_2} \right) \hat{z}$

☐  $\mathbf{B} = \frac{\mu_0 I_0}{4} \left( \frac{1}{R_2} - \frac{1}{R_1} \right) \hat{z}$

**Q. 26 [emPT5b]**

Uma espira situa-se no plano  $xy$  e é formada por dois arcos de circunferência centrados na origem  $C$  de raios  $R_1$  e  $R_2 > R_1$  conectados por segmentos retos (ver figura). A corrente elétrica na espira é  $I_0$  e tem sentido anti-horário no arco de maior raio ( $R_2$ ) quando vista de cima ( $z > 0$ ). O campo magnético  $\mathbf{B}$  na origem  $C$  é dado por



☐  $\mathbf{B} = \frac{\mu_0 I_0}{4} \left( \frac{1}{R_2} - \frac{1}{R_1} \right) \hat{z}$

☐  $\mathbf{B} = 0$

☐  $\mathbf{B} = \frac{\mu_0 I_0}{4} \left( \frac{1}{R_1} - \frac{1}{R_2} \right) \hat{z}$

☐  $\mathbf{B} = \frac{\mu_0 I_0}{4} \left( \frac{1}{R_1} + \frac{1}{R_2} \right) \hat{z}$

☐  $\mathbf{B} = -\frac{\mu_0 I_0}{4} \left( \frac{1}{R_1} + \frac{1}{R_2} \right) \hat{z}$

**Q. 27 [emPT6a]**

O potencial vetor de certa distribuição de corrente elétrica em uma região do espaço é dado, em coordenadas cilíndricas, por  $\mathbf{A}(\rho, \varphi, z) = \frac{1}{2} C_0 \rho \hat{\varphi}$ , com  $C_0$  constante. *i)* Calcule o campo magnético  $\mathbf{B}(\rho, \varphi, z)$ ; *ii)* Em que região espacial próxima a qual distribuição de corrente elétrica pode-se observar esse campo magnético?

☐  $\mathbf{B}(\rho, \varphi, z) = C_0 \hat{z}$ ; interior de um solenoide longo

☐  $\mathbf{B}(\rho, \varphi, z) = \frac{1}{4} C_0 \rho^2 \hat{z}$ ; proximidades de um fio retilíneo longo

☐  $\mathbf{B}(\rho, \varphi, z) = C_0 \hat{\varphi}$ ; interior de um solenoide longo

☐  $\mathbf{B}(\rho, \varphi, z) = \frac{1}{2} C_0 \hat{\varphi}$ ; ao longo do eixo de uma espira circular

☐  $\mathbf{B}(\rho, \varphi, z) = C_0 \hat{\varphi}$ ; ao longo do eixo de uma espira circular

**Q. 28 [emPT6b]**

O potencial vetor de certa distribuição de corrente elétrica em uma região do espaço é dado, em coordenadas cilíndricas, por  $\mathbf{A}(\rho, \varphi, z) = -C_0 \ln(\rho/a)\hat{z}$ , com  $C_0$  e  $a$  constantes. *i)* Calcule o campo magnético  $\mathbf{B}(\rho, \varphi, z)$ ; *ii)* Em que região espacial próxima a qual distribuição de corrente elétrica pode-se observar esse campo magnético?

- $\mathbf{B}(\rho, \varphi, z) = \frac{C_0}{\rho} \hat{\varphi}$ ; proximidades de um fio retilíneo longo
- B  $\mathbf{B}(\rho, \varphi, z) = C_0(\frac{a}{\rho}) \hat{\varphi}$ ; proximidades de um fio retilíneo longo
- C  $\mathbf{B}(\rho, \varphi, z) = \frac{C_0}{\rho} \hat{\varphi}$ ; ao longo do eixo de uma espira circular
- D  $\mathbf{B}(\rho, \varphi, z) = C_0(\frac{a}{\rho}) \hat{z}$ ; interior de um solenoide longo
- E  $\mathbf{B}(\rho, \varphi, z) = C_0 \rho \hat{z}$ ; interior de um solenoide longo

**Q. 29 [emPT7a]**

Uma onda eletromagnética plana propaga-se ao longo da direção  $\hat{z}$  num meio dielétrico, não magnético ( $\mu = \mu_0$ ), homogêneo e isotrópico. O campo elétrico da onda é dado, em notação complexa, por  $\mathbf{E}(z, t) = E_0 \exp[i(kz - \omega t)](\hat{x} + 3\hat{y})$ , com  $k = 1,8 \times 10^7 \text{ m}^{-1}$ ,  $\omega = 3,6 \times 10^{15} \text{ Hz}$  e  $E_0$  constante. Calcule: *i)* a velocidade de fase  $v_f$  da onda; *ii)* o índice de refração  $n$  do meio dielétrico; *iii)* o campo magnético  $\mathbf{B}(z, t)$  da onda. A velocidade da luz no vácuo é  $c = 3,0 \times 10^8 \text{ m/s}$ .

- $v_f = 2,0 \times 10^8 \text{ m/s}$ ;  $n = 1,5$ ;  $\mathbf{B}(z, t) = -\frac{kE_0}{\omega} \exp[i(kz - \omega t)](3\hat{x} - \hat{y})$
- B  $v_f = 2,0 \times 10^8 \text{ m/s}$ ;  $n = 1,5$ ;  $\mathbf{B}(z, t) = \frac{kE_0}{\omega} \exp[i(kz - \omega t)](3\hat{x} + \hat{y})$
- C  $v_f = 5,0 \times 10^8 \text{ m/s}$ ;  $n = 6,0$ ;  $\mathbf{B}(z, t) = -\frac{kE_0}{\omega} \exp[i(kz - \omega t)](3\hat{x} - \hat{y})$
- D  $v_f = 5,0 \times 10^8 \text{ m/s}$ ;  $n = 6,0$ ;  $\mathbf{B}(z, t) = \frac{kE_0}{\omega} \exp[i(kz - \omega t)](3\hat{x} + \hat{y})$
- E  $v_f = 1,5 \times 10^8 \text{ m/s}$ ;  $n = 2,0$ ;  $\mathbf{B}(z, t) = \frac{kE_0}{\omega} \exp[i(kz - \omega t)](\hat{x} - 3\hat{y})$

**Q. 30 [emPT7b]**

Uma onda eletromagnética plana propaga-se ao longo da direção  $\hat{z}$  num meio dielétrico, não magnético ( $\mu = \mu_0$ ), homogêneo e isotrópico. O campo elétrico da onda é dado, em notação complexa, por  $\mathbf{E}(z, t) = E_0 \exp[i(kz - \omega t)](2\hat{x} - \hat{y})$ , com  $k = 1,2 \times 10^7 \text{ m}^{-1}$ ,  $\omega = 3,0 \times 10^{15} \text{ Hz}$  e  $E_0$  constante. Calcule: *i)* a velocidade de fase  $v_f$  da onda; *ii)* o índice de refração  $n$  do meio dielétrico; *iii)* o campo magnético  $\mathbf{B}(z, t)$  da onda. A velocidade da luz no vácuo é  $c = 3,0 \times 10^8 \text{ m/s}$ .

- $v_f = 2,5 \times 10^8 \text{ m/s}$ ;  $n = 1,2$ ;  $\mathbf{B}(z, t) = \frac{kE_0}{\omega} \exp[i(kz - \omega t)](\hat{x} + 2\hat{y})$
- B  $v_f = 2,5 \times 10^8 \text{ m/s}$ ;  $n = 1,2$ ;  $\mathbf{B}(z, t) = \frac{kE_0}{\omega} \exp[i(kz - \omega t)](\hat{x} - 2\hat{y})$
- C  $v_f = 4,0 \times 10^8 \text{ m/s}$ ;  $n = 7,5$ ;  $\mathbf{B}(z, t) = -\frac{kE_0}{\omega} \exp[i(kz - \omega t)](\hat{x} + 2\hat{y})$
- D  $v_f = 4,0 \times 10^8 \text{ m/s}$ ;  $n = 7,5$ ;  $\mathbf{B}(z, t) = -\frac{kE_0}{\omega} \exp[i(kz - \omega t)](\hat{x} - 2\hat{y})$
- E  $v_f = 7,5 \times 10^8 \text{ m/s}$ ;  $n = 4,0$ ;  $\mathbf{B}(z, t) = \frac{kE_0}{\omega} \exp[i(kz - \omega t)](2\hat{x} + \hat{y})$

**Q. 31 [emPT8a]**

Uma espira condutora quadrada de lado  $D$  encontra-se no interior de um solenoide longo de comprimento  $L$  e de seção reta circular de raio  $a$  ( $a \ll L$ ). O plano da espira é perpendicular ao eixo do solenoide. O número total de voltas do solenoide é  $N$  e a corrente elétrica que nele circula é dada por  $I(t) = I_0 \cos \omega t$ . Qual é a força eletromotriz  $\varepsilon$  induzida na espira?

- $\varepsilon = \frac{\omega \mu_0 I_0 N D^2}{L} \sin \omega t$
- B  $\varepsilon = \frac{\omega \mu_0 I_0 N D^2}{L} \cos \omega t$
- C  $\varepsilon = \frac{\mu_0 I_0 N^2 D^2}{L^2} \sin \omega t$
- D  $\varepsilon = \frac{\mu_0 I_0 N (\pi a^2)}{L} \cos \omega t$
- E  $\varepsilon = \frac{\mu_0 I_0 N^2 (\pi a^2)}{L^2} \sin \omega t$

**Q. 32 [emPT8b]**

Uma espira condutora quadrada de lado  $C$  encontra-se no interior de um solenoide longo de comprimento  $L$  e de secção reta circular de raio  $b$  ( $b \ll L$ ). O plano da espira é perpendicular ao eixo do solenoide. O número total de voltas do solenoide é  $N$  e a corrente elétrica que nele circula é dada por  $I(t) = I_0 \sin \omega t$ . Qual é a força eletromotriz  $\varepsilon$  induzida na espira?

■  $\varepsilon = -\frac{\omega \mu_0 I_0 N C^2}{L} \cos \omega t$

□  $\varepsilon = \frac{\omega \mu_0 I_0 N C^2}{L} \sin \omega t$

□  $\varepsilon = -\frac{\mu_0 I_0 N^2 C^2}{L^2} \cos \omega t$

□  $\varepsilon = \frac{\mu_0 I_0 N (\pi b^2)}{L} \sin \omega t$

□  $\varepsilon = -\frac{\mu_0 I_0 N^2 (\pi b^2)}{L^2} \cos \omega t$

**Q. 33 [tePT1a]** Considere um mol de um gás ideal, cuja capacidade térmica a volume constante é  $C_v$ , inicialmente em equilíbrio térmico à temperatura  $T_0$ . O gás é colocado em contato com um reservatório térmico a uma temperatura  $T_R = T_0/2$ , estando isolado o sistema formado pelo gás mais o reservatório térmico. Após o contato, por meio de um processo em que não há troca de matéria nem variação de volume, o sistema evolui para um novo estado de equilíbrio. A variação total de entropia nesse processo é

■  $\Delta S = C_v (1 - \ln 2)$ .

□  $\Delta S = C_v \ln 2$ .

□  $\Delta S = 0$ .

□  $\Delta S = C_v$ .

□  $\Delta S = C_v (1 + \ln 2)$ .

**Q. 34 [tePT1b]** Considere um mol de um gás ideal, cuja capacidade térmica a volume constante é  $C_v$ , inicialmente em equilíbrio térmico à temperatura  $T_0$ . O gás é colocado em contato com um reservatório térmico a uma temperatura  $T_R = 2T_0$ , estando isolado o sistema formado pelo gás mais o reservatório térmico. Após o contato, por meio de um processo em que não há troca de matéria nem variação de volume, o sistema evolui para um novo estado de equilíbrio. A variação total de entropia nesse processo é

■  $\Delta S = C_v (\ln 2 - \frac{1}{2})$ .

□  $\Delta S = \frac{C_v}{2}$ .

□  $\Delta S = C_v (\ln 2 + \frac{1}{2})$ .

□  $\Delta S = C_v \ln 2$ .

□  $\Delta S = 0$ .

**Q. 35 [tePT2a]** Um certo gás real ocupa um recipiente com paredes adiabáticas a uma temperatura  $T_0$  com volume molar  $v_0$ . Uma descrição aproximada é tratá-lo como um gás de van der Waals, cuja energia interna por mol é dada por

$$u = RcT - \frac{a}{v},$$

onde  $R$ ,  $a$  e  $c$  são constantes. O gás realiza uma **expansão livre** entre os volumes molares  $v_0$  e  $v_f = 2v_0$ , atingindo dessa forma a temperatura final  $T_f$ . O trabalho  $W$  realizado pelo gás neste processo e a temperatura final  $T_f$  são

■  $W = 0$  e  $T_f = T_0 - \frac{a}{2v_0 Rc}$ .

□  $W = 0$  e  $T_f = T_0 + \frac{a}{2v_0 Rc}$ .

□  $W = RT \ln \left( \frac{2v_0 - b}{v_0 - b} \right) + \frac{a}{2v_0}$  e  $T_f = T_0$ .

□  $W = 0$  e  $T_f = T_0$ .

□  $W = RT \ln \left( \frac{2v_0 - b}{v_0 - b} \right) + \frac{a}{2v_0}$  e  $T_f = T_0 - \frac{a}{2v_0 Rc}$ .

**Q. 36 [tePT2b]** Um certo gás real ocupa um recipiente com paredes adiabáticas a uma temperatura  $T_0$  com volume molar  $v_0$ . Uma descrição aproximada é tratá-lo como um gás de van der Waals, cuja energia interna por mol é dada por

$$u = RcT - \frac{a}{v},$$

onde  $R$ ,  $a$  e  $c$  são constantes. O gás realiza uma **expansão livre** entre os volumes molares  $v_0$  e  $v_f = 3v_0$ , atingindo dessa forma a temperatura final  $T_f$ . O trabalho  $W$  realizado pelo gás neste processo e a temperatura final  $T_f$  são

■  $W = 0$  e  $T_f = T_0 - \frac{2a}{3v_0 Rc}$ .

□  $W = 0$  e  $T_f = T_0 + \frac{2a}{3v_0 Rc}$ .

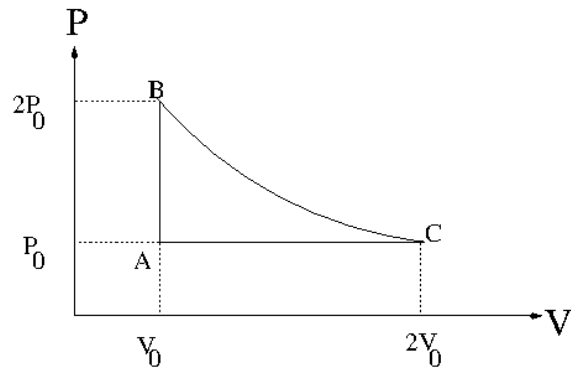
□  $W = RT \ln \left( \frac{3v_0 - b}{v_0 - b} \right) + \frac{2a}{3v_0}$  e  $T_f = T_0$ .

□  $W = 0$  e  $T_f = T_0$ .

□  $W = RT \ln \left( \frac{3v_0 - b}{v_0 - b} \right) + \frac{2a}{3v_0}$  e  $T_f = T_0 - \frac{2a}{3v_0 Rc}$ .

**Q. 37 [tePT3a]**

Considere um mol de um gás ideal monoatômico ( $C_V = \frac{3R}{2}$ ) que realiza um processo cíclico quase-estático A-B-C-A, conforme ilustra a figura. A etapa A-B é isocórica, a etapa B-C é isotérmica e a etapa C-A é isobárica. O trabalho realizado pelo gás ao longo do ciclo é



■  $W_{ciclo} = P_0 V_0 (\ln 4 - 1)$ .

□  $W_{ciclo} = P_0 V_0 (\ln 4 + 1)$ .

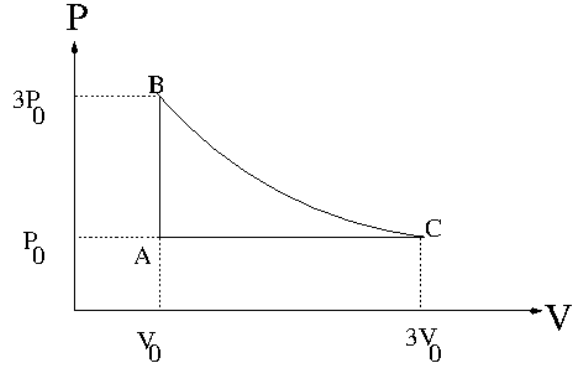
□  $W_{ciclo} = P_0 V_0 (\ln 4 - 2)$ .

□  $W_{ciclo} = P_0 V_0$ .

□  $W_{ciclo} = -P_0 V_0$ .

**Q. 38 [tePT3b]**

Considere um mol de um gás ideal monoatômico ( $C_V = \frac{3R}{2}$ ) que realiza um processo cíclico quase-estático A-B-C-A, conforme ilustra a figura. A etapa A-B é isocórica, a etapa B-C é isotérmica e a etapa C-A é isobárica. O trabalho realizado pelo gás ao longo do ciclo é



☐  $W_{ciclo} = P_0 V_0 (\ln 27 - 2).$

☐  $W_{ciclo} = P_0 V_0 (\ln 27 + 2).$

☐  $W_{ciclo} = P_0 V_0 (\ln 9 - 2).$

☐  $W_{ciclo} = 2P_0 V_0.$

☐  $W_{ciclo} = -2P_0 V_0.$

**Q. 39 [tePT4a]** Considere um certo gás realizando um processo de compressão adiabática quase-estática (em que não há trocas de calor) indo de uma pressão inicial  $P_0$  a uma pressão final  $P_f > P_0$ . Se  $N, V$  são o número de mols e volume, respectivamente, e  $S, U, F$  e  $H$  os potenciais termodinâmicos entropia, energia interna, energia livre de Helmholtz e entalpia, respectivamente, a quantidade física que caracteriza a variação de temperatura ao longo deste processo é dada por:

☐  $\left(\frac{\partial T}{\partial P}\right)_{S,N}.$

☐  $\left(\frac{\partial T}{\partial P}\right)_{U,N}.$

☐  $\left(\frac{\partial T}{\partial P}\right)_{H,N}.$

☐  $\left(\frac{\partial T}{\partial P}\right)_{V,N}.$

☐  $\left(\frac{\partial T}{\partial P}\right)_{F,N}.$

**Q. 40 [tePT4b]** Considere um certo gás realizando um processo de expansão adiabática quase-estática (em que não há trocas de calor) indo de um volume inicial  $V_0$  a um volume final  $V_f > V_0$ . Se  $N, P$  são o número de mols e pressão, respectivamente, e  $S, U, F$  e  $H$  os potenciais termodinâmicos entropia, energia interna, energia livre de Helmholtz e entalpia, a quantidade física que caracteriza a variação de temperatura ao longo deste processo é dada por:

☐  $\left(\frac{\partial T}{\partial V}\right)_{S,N}.$

☐  $\left(\frac{\partial T}{\partial V}\right)_{U,N}.$

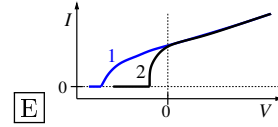
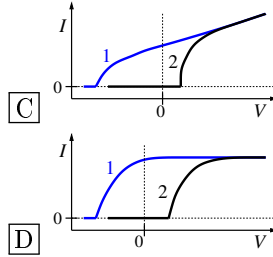
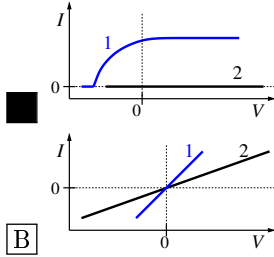
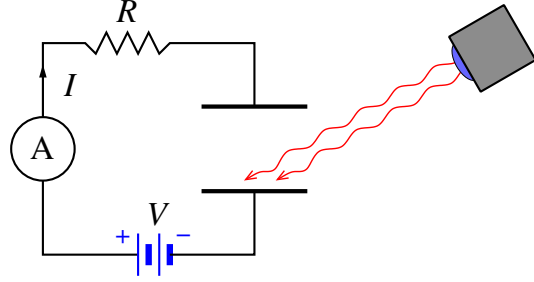
☐  $\left(\frac{\partial T}{\partial V}\right)_{H,N}.$

☐  $\left(\frac{\partial T}{\partial V}\right)_{P,N}.$

☐  $\left(\frac{\partial T}{\partial V}\right)_{F,N}.$

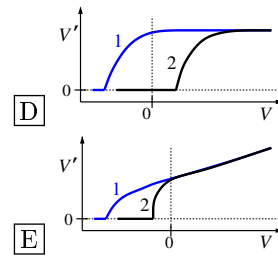
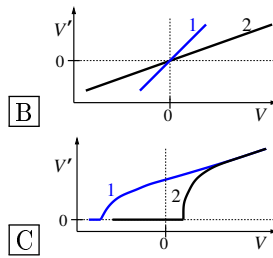
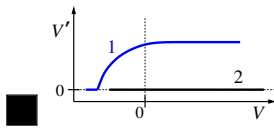
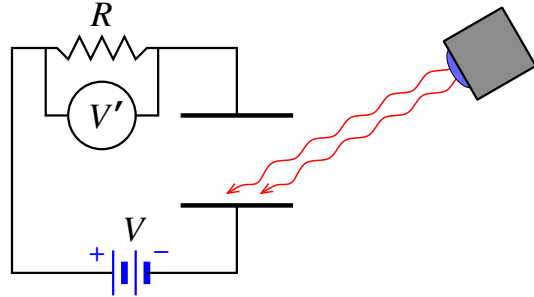
**Q. 41 [fmPT1a]**

A figura ilustra um circuito RC no vácuo conectado a uma bateria de diferença de potencial  $V$ . Sobre uma das placas do capacitor metálico (anodo) incide um feixe de luz gerado por uma fonte que emite uma taxa constante de  $N$  fótons por segundo de frequência fixa. Considere dois valores distintos de frequências  $f_1 > f_2$ , tais que as energias desses fótons são, respectivamente, maior e menor que a função trabalho do anodo. Qual dos gráficos abaixo melhor representa o valor da corrente estacionária  $I$  atravessando o amperímetro como função de  $V$ ?



**Q. 42 [fmPT1b]**

A figura ilustra um circuito RC no vácuo conectado a uma bateria de diferença de potencial  $V$ . Sobre uma das placas do capacitor metálico (anodo) incide um feixe de luz gerado por uma fonte que emite uma taxa constante de  $N$  fótons por segundo de frequência fixa. Considere dois valores distintos de frequências  $f_1 > f_2$ , tais que as energias desses fótons são, respectivamente, maior e menor que a função trabalho do anodo. Qual dos gráficos abaixo melhor representa o valor da diferença de potencial  $V'$  no voltímetro como função de  $V$ ?



**Q. 43 [fmPT2a]** Uma bomba de massa de repouso  $m$  explode e se fragmenta em três pedaços cujas massas de repouso são  $m_1 = \frac{1}{4}m$ ,  $m_2 = \frac{4}{9}m$  e  $m_3 = \frac{11}{36}m$ . As velocidades dos fragmentos 1 e 2 no referencial da bomba imediatamente após a explosão são iguais a  $\mathbf{v}_1 = \frac{4}{5}c\hat{x}$  e  $\mathbf{v}_2 = -\frac{3}{5}c\hat{x}$ , respectivamente, onde  $c$  é a velocidade da luz no vácuo. Qual é a velocidade do terceiro fragmento?

**[A]**  $\mathbf{v}_3 = \mathbf{0}$

**[B]**  $\mathbf{v}_3 = -\frac{12}{55}c\hat{x}$

**[C]**  $\mathbf{v}_3 = \frac{12}{55}c\hat{x}$

**[D]**  $\mathbf{v}_3 = -\frac{2}{5}c\hat{x}$

**[E]**  $\mathbf{v}_3 = \frac{1}{5}c\hat{x}$

**Q. 44 [fmPT2b]** Uma bomba de massa de repouso  $m$  explode e se fragmenta em três pedaços cujas massas de repouso são  $m_1 = \frac{5}{9}m$ ,  $m_2 = \frac{5}{16}m$  e  $m_3 = \frac{19}{144}m$ . As velocidades dos fragmentos 1 e 2 no referencial da bomba imediatamente após a explosão são iguais a  $\mathbf{v}_1 = \frac{3}{5}c\hat{x}$  e  $\mathbf{v}_2 = -\frac{4}{5}c\hat{x}$ , respectivamente, onde  $c$  é a velocidade da luz no vácuo. Qual é a velocidade do terceiro fragmento?

☐  $\mathbf{v}_3 = 0$

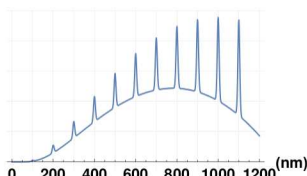
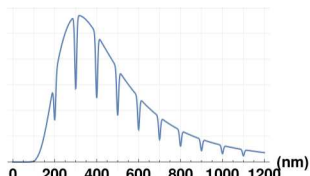
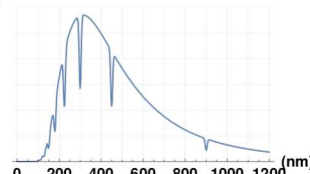
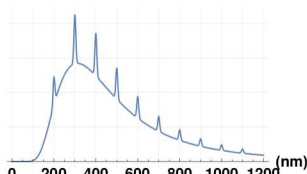
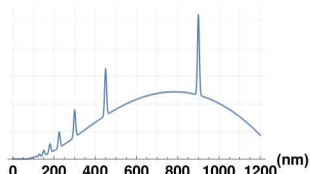
☐  $\mathbf{v}_3 = \frac{12}{19}c\hat{x}$

☐  $\mathbf{v}_3 = \frac{1}{5}c\hat{x}$

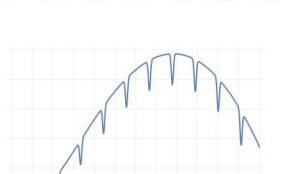
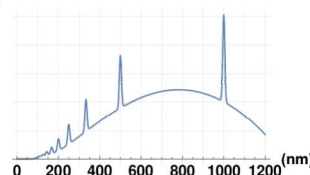
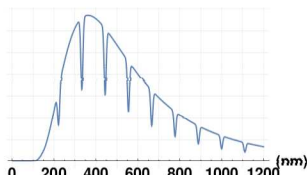
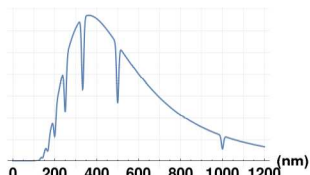
☐  $\mathbf{v}_3 = -\frac{12}{19}c\hat{x}$

☐  $\mathbf{v}_3 = -\frac{2}{5}c\hat{x}$

**Q. 45 [fmPT3a]** Um conjunto de partículas não interagentes estão confinadas em um potencial do tipo oscilador harmônico isotrópico. O sistema que as contém é então excitado e mede-se a luz emitida proveniente. O espectro da radiação emitida pelas partículas confinadas difere de um espectro contínuo apenas por um certo conjunto discreto de frequências características. Qual das figuras abaixo melhor ilustra o espectro de emissão em função do **comprimento de onda** da luz correspondente?



**Q. 46 [fmPT3b]** Um conjunto de partículas não interagentes estão confinadas em um potencial do tipo oscilador harmônico isotrópico. O sistema que as contém é então iluminado e mede-se a luz transmitida. O espectro da radiação absorvida pelas partículas confinadas difere de um espectro contínuo apenas por um certo conjunto discreto de frequências características. Qual das figuras abaixo melhor ilustra o espectro de absorção em função do **comprimento de onda** da luz correspondente?



**Q. 47 [fmPT4a]** Em uma sauna, a temperatura do ambiente é de  $45^\circ\text{C}$ . Qual é a ordem de grandeza da potência de calor absorvida por irradiação por uma pessoa cuja área superficial é de  $2,1 \text{ m}^2$ ? Considere o ambiente e a pessoa como corpos negros perfeitos.

☐  $10^3 \text{ W}$

☐  $10^2 \text{ W}$

☐  $10^1 \text{ W}$

☐  $10^0 \text{ W}$

☐  $10^{-1} \text{ W}$



**Q. 48 [fmPT4b]** Em uma sauna, a temperatura do ambiente é de  $47^{\circ}\text{C}$ . Qual é a ordem de grandeza da potência de calor absorvida por irradiação por uma pessoa cuja área superficial é de  $1,9\text{ m}^2$ ? Considere o ambiente e a pessoa como corpos negros perfeitos.

- ☒  $10^3\text{ W}$     ☐  $10^2\text{ W}$     ☐  $10^1\text{ W}$     ☐  $10^0\text{ W}$     ☐  $10^{-1}\text{ W}$

**Q. 49 [fmPT5a]**

Para um observador no referencial  $S$ , duas bombas nas posições  $x = -a$  e  $x = +a$  no eixo  $x$  explodem no mesmo instante. Um observador  $S'$ , por sua vez, move-se ao longo do eixo  $x$  de  $S$  com velocidade constante  $v$  na direção de  $x$  crescente. Indique a alternativa correta sobre as seguintes observações de  $S'$ :

- I. O intervalo de tempo entre as explosões depende da posição de  $S'$ .  
 II. A distância entre as bombas é  $2a/\sqrt{1 - v^2/c^2}$ , onde  $c$  é a velocidade da luz.  
 III. A bomba em  $x = +a$  explode antes da bomba em  $x = -a$ .

- ☒ Apenas a afirmação III está correta.  
☐ Apenas as afirmações II e III estão corretas.  
☐ Apenas a afirmação I está correta.  
☐ Apenas a afirmação II está correta.  
☐ As afirmações I e II estão corretas.

**Q. 50 [fmPT5b]**

Para um observador no referencial  $S$ , duas bombas nas posições  $x = -a$  e  $x = +a$  no eixo  $x$  explodem no mesmo instante. Um observador  $S'$ , por sua vez, move-se ao longo do eixo  $x$  de  $S$  com velocidade constante  $v$  na direção de  $x$  crescente. Indique a alternativa correta sobre as seguintes observações de  $S'$ :

- I. O intervalo de tempo entre as explosões depende da posição de  $S'$ .  
 II. A distância entre as bombas é  $2a\sqrt{1 - v^2/c^2}$ , onde  $c$  é a velocidade da luz.  
 III. A bomba em  $x = +a$  explode antes da bomba em  $x = -a$ .

- ☒ Apenas as afirmações II e III estão corretas.  
☐ Apenas a afirmação I está correta.  
☐ Apenas a afirmação II está correta.  
☐ Apenas a afirmação III está correta.  
☐ As afirmações I, II e III estão corretas.

**Q. 51 [fmPT6a]**

Radiação eletromagnética com comprimento de onda de  $3\text{ pm}$  incide em elétrons estacionários. A interação da radiação com um dos elétrons resulta em um fóton espalhado que é detectado a  $60^{\circ}$  da direção da radiação incidente. Qual foi, aproximadamente, a energia transferida para o elétron? (Observação: considere  $h/mc = 2\text{ pm}$ , onde  $h$  é a constante de Planck,  $m$  é a massa do elétron e  $c$  é a velocidade da luz no vácuo.)

- ☒  $100\text{ keV}$     ☐  $10\text{ keV}$     ☐  $50\text{ keV}$     ☐  $70\text{ keV}$     ☐  $300\text{ keV}$

**Q. 52 [fmPT6b]**

Radiação eletromagnética com comprimento de onda de  $2\text{ pm}$  incide em elétrons estacionários. A interação da radiação com um dos elétrons resulta em um fóton espalhado que é detectado a  $60^{\circ}$  da direção da radiação incidente. Qual foi, aproximadamente, a energia transferida para o elétron? (Observação: considere  $h/mc = 2\text{ pm}$ , onde  $h$  é a constante de Planck,  $m$  é a massa do elétron e  $c$  é a velocidade da luz no vácuo.)

- ☒  $200\text{ keV}$     ☐  $10\text{ keV}$     ☐  $50\text{ keV}$     ☐  $70\text{ keV}$     ☐  $300\text{ keV}$

**Q. 53 [fmPT7a]**

De acordo com o modelo de Bohr, qual é a razão entre os raios da primeira órbita do elétron em um átomo de hidrogênio,  $r_H$ , e em um íon de hélio simplesmente ionizado,  $r_{He^+}$ , ou seja,  $r_H/r_{He^+}$ ? (Observação: o número atômico do hélio é 2.)

- ☐ 2      ☐ 1      ☐ 4      ☐ 1/4      ☐ 3

**Q. 54 [fmPT7b]**

De acordo com o modelo de Bohr, qual é a razão entre os raios da primeira órbita do elétron em um íon de hélio simplesmente ionizado,  $r_{He^+}$ , e em um átomo de hidrogênio,  $r_H$ , ou seja,  $r_{He^+}/r_H$ ? (Observação: o número atômico do hélio é 2.)

- ☐ 1/2      ☐ 1      ☐ 4      ☐ 1/4      ☐ 3

**Q. 55 [fmPT8a]**

Um fóton de comprimento de onda de 121,6 nm é emitido por um átomo de hidrogênio. As energias do átomo de hidrogênio são dadas por  $E_n = -13,6 \text{ eV}/n^2$ , onde  $n$  é o número quântico principal do estado em que o elétron se encontra. Qual é o valor de  $n$  do estado em que o elétron se encontrava antes da emissão do fóton?

- ☐ 2      ☐ 3      ☐ 4      ☐ 1      ☐ 5

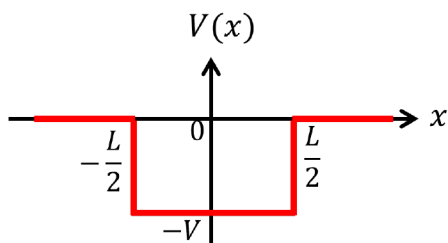
**Q. 56 [fmPT8b]**

Um fóton com um comprimento de onda de 102,6 nm é emitido por um átomo de hidrogênio. As energias do átomo de hidrogênio são dadas por  $E_n = -13,6 \text{ eV}/n^2$ , onde  $n$  é o número quântico principal do estado em que o elétron se encontra. Qual é o valor de  $n$  do estado em que o elétron se encontrava antes da emissão do fóton?

- ☐ 3      ☐ 2      ☐ 4      ☐ 1      ☐ 5

**Q. 57 [mqPT1a]**

Uma partícula quântica está submetida a um poço de potencial unidimensional  $V(x)$  de largura  $L$  e profundidade  $-V$ , representado na figura. O poço é suficientemente profundo para que existam estados ligados. Se  $E$  representa um possível auto-valor da energia da partícula, determine se cada afirmativa abaixo é verdadeira (V) ou falsa (F) e indique a alternativa que contém a sequência correta.



- ( )  $E > 0$  pertence à parte discreta do espectro de energias e  $E < 0$  à parte contínua.  
 ( ) Se  $E < 0$ , a função de onda da partícula só pode ser nula para valores discretos de  $x$  na região  $|x| < L/2$ , mas decai exponencialmente a zero com a distância às bordas do poço na região  $|x| > L/2$ .  
 ( ) Se  $E < 0$ , a função de onda da partícula é estritamente confinada à região  $|x| < L/2$ , isto é, ela é zero nas bordas e fora do poço.  
 ( ) Se  $E > 0$ , a função de onda da partícula é estendida ao longo de todo o eixo  $x$ .

☐ F, V, F, V.

☐ V, F, V, F.

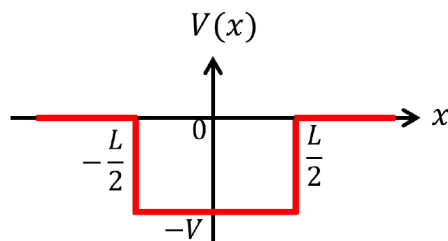
☐ V, F, F, V.

☐ F, V, F, F.

☐ V, F, V, V.

**Q. 58 [mqPT1b]**

Uma partícula quântica está submetida a um poço de potencial unidimensional  $V(x)$  de largura  $L$  e profundidade  $-V$ , representado na figura. O poço é suficientemente profundo para que existam estados ligados. Se  $E$  representa um possível auto-valor da energia da partícula, determine se cada afirmativa abaixo é verdadeira (V) ou falsa (F) e indique a alternativa que contém a sequência correta.



- ( )  $E < 0$  pertence à parte discreta do espectro de energias e  $E > 0$  à parte contínua.  
 ( ) Se  $E > 0$ , a função de onda da partícula é estendida ao longo de todo o eixo  $x$ .  
 ( ) Se  $E < 0$ , a função de onda da partícula é estritamente confinada à região  $|x| < L/2$ , isto é, ela é zero nas bordas e fora do poço.  
 ( ) Se  $E < 0$ , a função de onda da partícula só pode ser nula para valores discretos de  $x$  na região  $|x| < L/2$ , mas decai exponencialmente a zero com a distância às bordas do poço na região  $|x| > L/2$ .

☒ V, V, F, V.

☐ V, F, F, V.

☐ F, F, V, F.

☐ F, F, V, V.

☐ F, V, F, V.

**Q. 59 [mqPT2a]** Sejam  $\{|A\rangle, |B\rangle\}$  e  $\{|1\rangle, |2\rangle\}$  duas bases ortonormais do espaço de estados bidimensional de um sistema quântico, com a seguinte transformação entre as bases:  $|A\rangle = [|1\rangle + |2\rangle]/\sqrt{2}$  e  $|B\rangle = [-|1\rangle + |2\rangle]/\sqrt{2}$ . Supondo que, em um dado instante, o sistema esteja no estado **normalizado**  $|\Psi\rangle = a|A\rangle + b|B\rangle$ , onde  $a$  e  $b$  são números reais, as probabilidades de que o sistema se encontre nos estados  $|A\rangle$ ,  $|B\rangle$ ,  $|1\rangle$ , e  $|2\rangle$  neste instante são, respectivamente,

☒  $a^2$ ,  $b^2$ ,  $1/2 - ab$ , e  $1/2 + ab$ .

☐  $a^2$ ,  $b^2$ ,  $1/2 + ab$ , e  $1/2 + ab$ .

☐  $a^2$ ,  $b^2$ ,  $-ab$ , e  $+ab$ .

☐  $a^2 + b^2$ ,  $a^2 + b^2$ ,  $1/2 - ab$ , e  $1/2 + ab$ .

☐  $a^2$ ,  $b^2$ ,  $1/2$ , e  $1/2$ .

**Q. 60 [mqPT2b]** Sejam  $\{|C\rangle, |D\rangle\}$  e  $\{|1\rangle, |2\rangle\}$  duas bases ortonormais do espaço de estados bidimensional de um sistema quântico, com a seguinte transformação entre as bases:  $|C\rangle = [|1\rangle + |2\rangle]/\sqrt{2}$  e  $|D\rangle = [-|1\rangle + |2\rangle]/\sqrt{2}$ . Supondo que, em um dado instante, o sistema esteja no estado **normalizado**  $|\Psi\rangle = c|C\rangle + d|D\rangle$ , onde  $c$  e  $d$  são números reais, as probabilidades de que o sistema se encontre nos estados  $|C\rangle$ ,  $|D\rangle$ ,  $|1\rangle$ , e  $|2\rangle$  neste instante são, respectivamente,

☒  $c^2$ ,  $d^2$ ,  $1/2 - cd$ , e  $1/2 + cd$ .

☐  $c^2$ ,  $d^2$ ,  $1/2 + cd$ , e  $1/2 + cd$ .

☐  $c^2$ ,  $d^2$ ,  $-cd$ , e  $+cd$ .

☐  $c^2 + d^2$ ,  $c^2 + d^2$ ,  $1/2 - cd$ , e  $1/2 + cd$ .

☐  $c^2$ ,  $d^2$ ,  $1/2$ , e  $1/2$ .

**Q. 61 [mqPT3a]** Seja  $|n\rangle$  ( $n = 0, 1, 2, \dots$ ) o  $n$ -ésimo autoestado de energia de um oscilador harmônico e  $H$  o respectivo operador Hamiltoniano, tal que  $H|n\rangle = \hbar\omega(n + 1/2)|n\rangle$ , onde  $\omega$  é a frequência característica do oscilador. Sabendo que o valor esperado da energia do oscilador é, num certo instante,  $1,5\hbar\omega$ , determine se cada afirmativa abaixo é verdadeira (V) ou falsa (F) e indique a alternativa que contém a sequência correta.

- ( ) O oscilador pode estar no autoestado com  $n = 1$ .  
 ( ) O oscilador está, com certeza, no autoestado com  $n = 1$ .  
 ( ) O oscilador pode estar no estado  $(1/\sqrt{2})|0\rangle + (1/\sqrt{2})|2\rangle$ .  
 ( ) O oscilador está no estado fundamental.

☒ V, F, V, F.

☐ C F, V, F, F.

☐ E F, F, F, V.

☐ B V, F, F, F.

☐ D V, V, V, F.

**Q. 62 [mqPT3b]** Seja  $|n\rangle$  ( $n = 0, 1, 2, \dots$ ) o  $n$ -ésimo autoestado de energia de um oscilador harmônico e  $H$  o respectivo operador Hamiltoniano, tal que  $H|n\rangle = \hbar\omega(n + 1/2)|n\rangle$ , onde  $\omega$  é a frequência característica do oscilador. Sabendo que o valor esperado da energia do oscilador é, num certo instante,  $1,5\hbar\omega$ , determine se cada afirmativa abaixo é verdadeira (V) ou falsa (F) e indique a alternativa que contém a sequência correta.

- ( ) O oscilador não pode estar no autoestado com  $n = 1$ .  
 ( ) O oscilador está, com certeza, no autoestado com  $n = 1$ .  
 ( ) O oscilador pode estar no estado  $(1/\sqrt{2})|0\rangle + (1/\sqrt{2})|2\rangle$ .  
 ( ) O oscilador não está no estado fundamental.

☒ F, F, V, V.

☐ C F, F, V, F.

☐ E V, V, V, F.

☐ B V, F, V, V.

☐ D F, F, F, V.

**Q. 63 [mqPT4a]** As matrizes  $S_\alpha$  ( $\alpha = x, y, z$ ), que representam as componentes do operador de spin  $\mathbf{S}$  de uma partícula de spin  $1/2$ , são dadas, na representação em que  $S_z$  é diagonal, por  $S_\alpha = (\hbar/2)\sigma_\alpha$ , onde  $\sigma_\alpha$  são as matrizes de Pauli, dadas no Formulário. Suponha que uma partícula de spin  $1/2$  esteja submetida a um campo magnético constante e uniforme que aponta na direção  $z$ . O estado de spin da partícula, como função do tempo  $t$ , na mesma representação, é

$$\frac{1}{2} \begin{pmatrix} e^{i\omega t/2} \\ \sqrt{3}e^{-i\omega t/2} \end{pmatrix},$$

onde  $\omega$  é proporcional ao campo magnético. Obtendo os valores esperados das componentes  $x$  e  $z$  do spin,  $\langle S_x \rangle$  e  $\langle S_z \rangle$ , respectivamente, identifique a opção correta dentre as afirmativas abaixo.

☒ O valor esperado do spin,  $\langle \mathbf{S} \rangle$ , precessiona em torno da direção do campo magnético, mantendo um ângulo constante com essa direção, isto é, com  $\langle S_z \rangle$  constante.

☐ B O valor esperado do spin,  $\langle \mathbf{S} \rangle$ , precessiona em torno do eixo  $x$ , mantendo um ângulo constante com a direção  $x$ , isto é, com  $\langle S_x \rangle$  constante.

☐ C O valor esperado do spin,  $\langle \mathbf{S} \rangle$ , precessiona em torno da direção do campo magnético, com  $\langle S_z \rangle$  oscilando entre  $-\hbar/2$  e  $+\hbar/2$ .

☐ D O valor esperado do spin,  $\langle \mathbf{S} \rangle$ , é independente do tempo e tem módulo  $+\hbar/2$  ao longo da direção do campo magnético.

☐ E O valor esperado do spin,  $\langle \mathbf{S} \rangle$ , é independente do tempo e tem módulo  $+\hbar/2$  ao longo do eixo  $x$ .

**Q. 64 [mqPT4b]** As matrizes  $S_\alpha$  ( $\alpha = x, y, z$ ), que representam as componentes do operador de spin  $\mathbf{S}$  de uma partícula de spin  $1/2$ , são dadas, na representação em que  $S_z$  é diagonal, por  $S_\alpha = (\hbar/2)\sigma_\alpha$ , onde  $\sigma_\alpha$  são as matrizes de Pauli, dadas no Formulário. Suponha que uma partícula de spin  $1/2$  esteja submetida a um campo magnético constante e uniforme que aponta na direção  $z$ . O estado de spin da partícula, como função do tempo  $t$ , na mesma representação, é

$$\frac{1}{2} \begin{pmatrix} e^{i\omega t/2} \\ \sqrt{3} e^{-i\omega t/2} \end{pmatrix}$$

onde  $\omega$  é proporcional ao campo magnético. Obtendo os valores esperados das componentes  $y$  e  $z$  do spin,  $\langle S_y \rangle$  e  $\langle S_z \rangle$ , respectivamente, identifique a opção correta dentre as afirmativas abaixo.

- ☒ O valor esperado do spin,  $\langle \mathbf{S} \rangle$ , precessiona em torno da direção do campo magnético, mantendo um ângulo constante com essa direção, isto é, com  $\langle S_z \rangle$  constante.
- ☐ O valor esperado do spin,  $\langle \mathbf{S} \rangle$ , precessiona em torno do eixo  $y$ , mantendo um ângulo constante com a direção  $y$ , isto é, com  $\langle S_y \rangle$  constante.
- ☐ O valor esperado do spin,  $\langle \mathbf{S} \rangle$ , precessiona em torno da direção do campo magnético, com  $\langle S_z \rangle$  oscilando entre  $-\hbar/2$  e  $+\hbar/2$ .
- ☐ O valor esperado do spin,  $\langle \mathbf{S} \rangle$ , é independente do tempo e tem módulo  $+\hbar/2$  ao longo da direção do campo magnético.
- ☐ O valor esperado do spin,  $\langle \mathbf{S} \rangle$ , é independente do tempo e tem módulo  $+\hbar/2$  ao longo do eixo  $y$ .

**Q. 65 [mqPT5a]**

Considere um sistema quântico cujo espaço de estados é bidimensional. Seja  $\{|1\rangle, |2\rangle\}$  uma base ortonormal nesse espaço, nessa ordem. Um observável  $\hat{O}$  é representado nessa base pela matriz

$$O = s \begin{pmatrix} 0 & 2 \\ 2 & 0 \end{pmatrix},$$

onde  $s$  é uma constante. Se, em um certo instante, o sistema se encontra no estado  $|\psi\rangle = \sqrt{\frac{1}{2}}(|1\rangle - |2\rangle)$ , os possíveis resultados de uma medida desse observável são

- ☒  $-2s$  com probabilidade 1.
- ☐  $-2s$  com probabilidade  $1/2$  e  $2s$  com probabilidade  $1/2$ .
- ☐  $-2s$  com probabilidade  $2/3$  e  $2s$  com probabilidade  $1/3$ .
- ☐  $2s$  com probabilidade 1.
- ☐  $-2s$  com probabilidade  $3/4$  e  $2s$  com probabilidade  $1/4$ .

**Q. 66 [mqPT5b]**

Considere um sistema quântico cujo espaço de estados é bidimensional. Seja  $\{|1\rangle, |2\rangle\}$  uma base ortonormal nesse espaço, nessa ordem. Um observável  $\hat{O}$  é representado nessa base pela matriz

$$O = s \begin{pmatrix} 0 & 2 \\ 2 & 0 \end{pmatrix},$$

onde  $s$  é uma constante. Se, em um certo instante, o sistema se encontra no estado  $|\psi\rangle = \sqrt{\frac{1}{2}}(|1\rangle + |2\rangle)$ , os possíveis resultados de uma medida desse observável são

- ☒  $2s$  com probabilidade 1.
- ☐  $2s$  com probabilidade  $1/2$  e  $-2s$  com probabilidade  $1/2$ .
- ☐  $2s$  com probabilidade  $2/3$  e  $-2s$  com probabilidade  $1/3$ .
- ☐  $-2s$  com probabilidade 1.
- ☐  $2s$  com probabilidade  $3/4$  e  $-2s$  com probabilidade  $1/4$ .

**Q. 67 [mqPT6a]**

Uma partícula de massa  $m$  move-se em uma dimensão sob a ação de um potencial  $V(x)$ . Esse potencial é do tipo caixa, sendo zero no intervalo  $-a/2 \leq x \leq a/2$  e infinito fora dele. A função de onda dessa partícula é

$$\psi(x,t) = \begin{cases} N \sin\left(\frac{2\pi x}{a}\right) e^{-iEt/\hbar}, & -a/2 \leq x \leq a/2, \\ 0, & |x| > a/2. \end{cases}$$

Aqui,  $x$  é a posição da partícula,  $E$  é a energia da partícula,  $t$  é o tempo e  $N$  é uma constante de normalização da função de onda. Quais são os valores de  $N$  e  $E$ ?

☐  $N = \sqrt{2/a}$  e  $E = 2\hbar^2\pi^2/ma^2$ .

☐  $N = 2/a$  e  $E = 2\hbar^2\pi^2/ma^2$ .

☐  $N = \sqrt{2/a}$  e  $E = \hbar^2\pi^2/ma^2$ .

☐  $N = 2/\sqrt{a}$  e  $E = \hbar^2\pi^2/ma^2$ .

☐  $N = \sqrt{2/a}$  e  $E = \hbar^2\pi^2/2ma^2$ .

**Q. 68 [mqPT6b]**

Uma partícula de massa  $m$  move-se em uma dimensão sob a ação de um potencial  $V(x)$ . Esse potencial é do tipo caixa, sendo zero no intervalo  $-a/2 \leq x \leq a/2$  e infinito fora dele. A função de onda dessa partícula é

$$\psi(x,t) = \begin{cases} N \cos\left(\frac{\pi x}{a}\right) e^{-iEt/\hbar}, & -a/2 \leq x \leq a/2, \\ 0, & |x| > a/2. \end{cases}$$

Aqui,  $x$  é a posição da partícula,  $E$  é a energia da partícula,  $t$  é o tempo e  $N$  é uma constante de normalização da função de onda. Quais são os valores de  $N$  e  $E$ ?

☐  $N = \sqrt{2/a}$  e  $E = \hbar^2\pi^2/2ma^2$ .

☐  $N = 2/a$  e  $E = \hbar^2\pi^2/2ma^2$ .

☐  $N = \sqrt{2/a}$  e  $E = \hbar^2\pi^2/ma^2$ .

☐  $N = 2/\sqrt{a}$  e  $E = 2\hbar^2\pi^2/ma^2$ .

☐  $N = \sqrt{2/a}$  e  $E = 2\hbar^2\pi^2/ma^2$ .

**Q. 69 [mqPT7a]**

Supondo que seja possível determinar que o módulo do momento angular orbital do elétron em um átomo de hidrogênio, em um dado instante de tempo, seja  $L = \sqrt{2}\hbar$ , quais seriam os resultados possíveis de uma medição imediatamente posterior de  $L_z$ , a componente  $z$  de  $\vec{L}$ ?

☐  $-\hbar, 0, \hbar$ .

☐  $0, \hbar$ .

☐  $-2\hbar, -\hbar, 0, \hbar, 2\hbar$ .

☐  $0$ .

☐  $0, \hbar, 2\hbar$ .

**Q. 70 [mqPT7b]**

Supondo que seja possível determinar que o módulo do momento angular orbital do elétron em um átomo de hidrogênio, em um dado instante de tempo, seja  $L = \sqrt{6}\hbar$ , quais seriam os resultados possíveis de uma medição imediatamente posterior de  $L_z$ , a componente  $z$  de  $\vec{L}$ ?

☐  $-2\hbar, -\hbar, 0, \hbar, 2\hbar$ .

☐  $0, 3\hbar$ .

☐  $-\hbar, 0, \hbar$ .

☐  $0$ .

☐  $0, \hbar, 2\hbar, 3\hbar$ .

**Q. 71 [mqPT8a]**

Considere um sistema quântico cujo espaço de estados é tridimensional. Seja  $\{|a\rangle, |b\rangle, |c\rangle\}$  uma base ortonormal nesse espaço. O Hamiltoniano do sistema é

$$H = \hbar\omega (|a\rangle\langle a| - |b\rangle\langle b| + 2|c\rangle\langle c|).$$

Suponha que, no tempo  $t = 0$ , o sistema se encontre no seguinte estado

$$|\psi(0)\rangle = \frac{1}{\sqrt{3}}|a\rangle + \frac{1}{\sqrt{3}}|b\rangle + \frac{1}{\sqrt{3}}|c\rangle.$$

O estado do sistema em um tempo  $t > 0$  será

☐  $|\psi(t)\rangle = (e^{-i\omega t}|a\rangle + e^{i\omega t}|b\rangle + e^{-2i\omega t}|c\rangle) / \sqrt{3}.$

☐  $|\psi(t)\rangle = (e^{i\omega t}|a\rangle + e^{-i\omega t}|b\rangle + e^{2i\omega t}|c\rangle) / \sqrt{3}.$

☐  $|\psi(t)\rangle = (e^{-i\omega t}|a\rangle - e^{i\omega t}|b\rangle + e^{-2i\omega t}|c\rangle) / \sqrt{3}.$

☐  $|\psi(t)\rangle = (e^{i\omega t}|a\rangle - e^{-i\omega t}|b\rangle + e^{2i\omega t}|c\rangle) / \sqrt{3}.$

☐  $|\psi(t)\rangle = (e^{i\omega t}|a\rangle - e^{i\omega t}|b\rangle + e^{2i\omega t}|c\rangle) / \sqrt{3}.$

**Q. 72 [mqPT8b]**

Considere um sistema quântico cujo espaço de estados é tridimensional. Seja  $\{|a\rangle, |b\rangle, |c\rangle\}$  uma base ortonormal nesse espaço. O Hamiltoniano do sistema é

$$H = \hbar\omega (|a\rangle\langle a| + 2|b\rangle\langle b| - 2|c\rangle\langle c|).$$

Suponha que no tempo  $t = 0$  o sistema se encontre no seguinte estado

$$|\psi(0)\rangle = \frac{1}{\sqrt{3}}|a\rangle + \frac{1}{\sqrt{3}}|b\rangle + \frac{1}{\sqrt{3}}|c\rangle.$$

O estado do sistema em um tempo  $t > 0$  será

☐  $|\psi(t)\rangle = (e^{-i\omega t}|a\rangle + e^{-2i\omega t}|b\rangle + e^{2i\omega t}|c\rangle) / \sqrt{3}.$

☐  $|\psi(t)\rangle = (e^{i\omega t}|a\rangle + e^{2i\omega t}|b\rangle + e^{-2i\omega t}|c\rangle) / \sqrt{3}.$

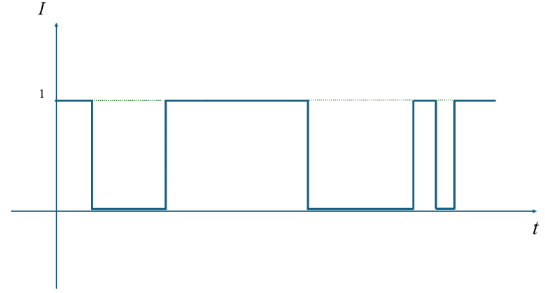
☐  $|\psi(t)\rangle = (e^{-i\omega t}|a\rangle + e^{-2i\omega t}|b\rangle - e^{2i\omega t}|c\rangle) / \sqrt{3}.$

☐  $|\psi(t)\rangle = (e^{i\omega t}|a\rangle + e^{2i\omega t}|b\rangle - e^{-2i\omega t}|c\rangle) / \sqrt{3}.$

☐  $|\psi(t)\rangle = (e^{i\omega t}|a\rangle + e^{2i\omega t}|b\rangle - e^{2i\omega t}|c\rangle) / \sqrt{3}.$

**Q. 73 [fePT1a]**

O ruído “flicker” ocorre em dispositivos semicondutores, como transistores CMOS (Complementary Metal-Oxide-Semiconductor), devido a captura e emissão de elétrons por armadilhas na interface entre o óxido e o silício. A figura ilustra o efeito típico causado por uma dessas armadilhas, onde a alternância de um elétron capturado e um elétron emitido pode ser representada por uma variável aleatória  $I$ .



O valor dessa variável binária é 0 quando o elétron está capturado e 1 quando ele é emitido. O valor esperado da  $k$ -ésima potência de  $I$  é

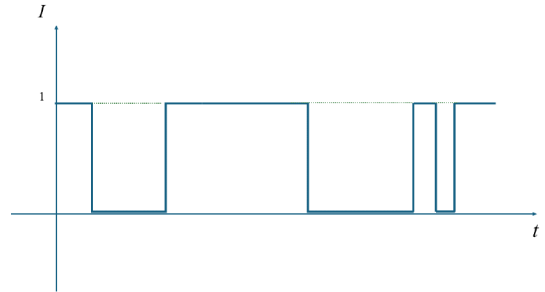
$$\langle I^k \rangle = \sum_I I^k P(I), \quad (1)$$

onde a probabilidade de  $I$  assumir o valor 1 é  $P(1) = q$  enquanto a probabilidade de  $I$  assumir o valor 0 é o complementar  $P(0) = 1 - q$ , com  $0 < q < 1$ . Para essa única armadilha, a dispersão  $\sqrt{\langle I^2 \rangle - \langle I \rangle^2}$  será igual ao valor esperado  $\langle I \rangle$  se:

- ☒  $q = \frac{1}{2}$ .    
 ☐  $q = \frac{1}{4}$ .    
 ☐  $q = \frac{2}{3}$ .    
 ☐  $q = \frac{4}{5}$ .    
 ☐  $q = 1$ .

**Q. 74 [fePT1b]**

O ruído “flicker” ocorre em dispositivos semicondutores, como transistores CMOS (Complementary Metal-Oxide-Semiconductor), devido a captura e emissão de elétrons por armadilhas na interface entre o óxido e o silício. A figura ilustra o efeito típico causado por uma dessas armadilhas, onde a alternância de um elétron capturado e um elétron emitido pode ser representada por uma variável aleatória  $I$ .



O valor dessa variável binária é 0 quando o elétron está capturado e 1 quando ele é emitido. O valor esperado da  $k$ -ésima potência de  $I$  é

$$\langle I^k \rangle = \sum_I I^k P(I), \quad (2)$$

onde a probabilidade de  $I$  assumir o valor 1 é  $P(1) = q$  enquanto a probabilidade de  $I$  assumir o valor 0 é o complementar  $P(0) = 1 - q$ , com  $0 < q < 1$ . Para essa única armadilha, a dispersão  $\sqrt{\langle I^2 \rangle - \langle I \rangle^2}$  será igual à metade do valor esperado  $\langle I \rangle$  se:

- ☒  $q = \frac{4}{5}$ .    
 ☐  $q = \frac{2}{3}$ .    
 ☐  $q = \frac{1}{2}$ .    
 ☐  $q = \frac{1}{4}$ .    
 ☐  $q = 1$ .



**Q. 75 [fePT2a]** Uma estrela composta essencialmente de hidrogênio está a uma temperatura  $T$ . Os níveis de energia do átomo de hidrogênio são dados por:

$$E_n = -\frac{\alpha}{n^2}, \quad (n = 1, 2, 3, \dots). \quad (3)$$

A degenerescência do nível  $n$  é  $g_n = 2n^2$ . A razão entre o número de átomos no segundo estado excitado ( $n = 3$ ) e aqueles no estado fundamental ( $n = 1$ ) é

☐  $9e^{-\frac{8\alpha}{9k_B T}}.$

☐  $3e^{-\frac{4\alpha}{5k_B T}}.$

☐  $6e^{-\frac{2\alpha}{9k_B T}}.$

☐  $4e^{-\frac{\alpha}{2k_B T}}.$

☐  $2e^{-\frac{8\alpha}{3k_B T}}.$

**Q. 76 [fePT2b]** Uma estrela composta essencialmente de hidrogênio está a uma temperatura  $T$ . Os níveis de energia do átomo de hidrogênio são dados por:

$$E_n = -\frac{\alpha}{n^2}, \quad (n = 1, 2, 3, \dots). \quad (4)$$

A degenerescência do nível  $n$  é  $g_n = 2n^2$ . A razão entre o número de átomos no primeiro estado excitado ( $n = 2$ ) e aqueles no estado fundamental ( $n = 1$ ) é

☐  $4e^{-\frac{3\alpha}{4k_B T}}.$

☐  $8e^{-\frac{2\alpha}{5k_B T}}.$

☐  $3e^{-\frac{2\alpha}{3k_B T}}.$

☐  $2e^{-\frac{5\alpha}{6k_B T}}.$

☐  $e^{-\frac{\alpha}{k_B T}}.$

**Q. 77 [fePT3a]** Considere um sistema de 2 átomos. Cada átomo pode estar em um de três estados quânticos com energias 0,  $\varepsilon$  e  $2\varepsilon$ . O sistema está em contato com um reservatório térmico a uma temperatura  $T$ . Supondo que os átomos sejam férmions sem spin, a função de partição canônica do sistema é

☐  $e^{-\frac{\varepsilon}{k_B T}} + e^{-\frac{2\varepsilon}{k_B T}} + e^{-\frac{3\varepsilon}{k_B T}}.$

☐  $1 + e^{-\frac{\varepsilon}{k_B T}} + e^{-\frac{2\varepsilon}{k_B T}}.$

☐  $e^{-\frac{\varepsilon}{k_B T}} + e^{-\frac{2\varepsilon}{k_B T}}.$

☐  $1 + e^{-\frac{2\varepsilon}{k_B T}} + e^{-\frac{3\varepsilon}{k_B T}}.$

☐  $1 + e^{-\frac{\varepsilon}{k_B T}}.$

**Q. 78 [fePT3b]** Considere um sistema de 2 átomos. Cada átomo pode estar em um de dois estados quânticos com energias 0 e  $\varepsilon$ . O sistema está em contato com um reservatório térmico a uma temperatura  $T$ . Supondo que os átomos sejam bósons sem spin, a função de partição canônica do sistema é

☐  $1 + e^{-\frac{\varepsilon}{k_B T}} + e^{-\frac{2\varepsilon}{k_B T}}.$

☐  $1 + e^{-\frac{2\varepsilon}{k_B T}} + e^{-\frac{3\varepsilon}{k_B T}}.$

☐  $e^{-\frac{\varepsilon}{k_B T}} + e^{-\frac{2\varepsilon}{k_B T}} + 2e^{-\frac{3\varepsilon}{k_B T}}.$

☐  $1 + e^{-\frac{\varepsilon}{k_B T}}.$

☐  $e^{-\frac{2\varepsilon}{k_B T}} + e^{-\frac{3\varepsilon}{k_B T}} + e^{-\frac{4\varepsilon}{k_B T}}.$

**Q. 79 [fePT4a]** Em primeira aproximação, a atmosfera terrestre pode ser tratada como um gás ideal (essencialmente nitrogênio) mantido a uma temperatura constante  $T$ . Desprezando a curvatura da Terra e a variação da força gravitacional com a altura, as partículas do gás, todas de massa  $m$ , estão sob a ação do potencial gravitacional

$$U = mgz,$$

onde  $z$  é a coordenada na direção vertical. Qual é a altura média das partículas?

*Integrais úteis:*

$$\int_0^\infty e^{-ax} dx = \frac{1}{a}, \quad \int_0^\infty x e^{-ax} dx = \frac{1}{a^2}.$$

☒  $\langle z \rangle = \frac{k_B T}{mg}.$

☐  $\langle z \rangle = \frac{k_B T}{2mg}.$

☐  $\langle z \rangle = \frac{3k_B T}{mg}.$

☐  $\langle z \rangle = \frac{3k_B T}{2mg}.$

☐  $\langle z \rangle = 0.$

**Q. 80 [fePT4b]** Em primeira aproximação, a atmosfera terrestre pode ser tratada como um gás ideal (essencialmente nitrogênio) mantido a uma temperatura constante  $T$ . Desprezando a curvatura da Terra e a variação da força gravitacional com a altura, as partículas do gás, todas de massa  $m$ , estão sob a ação do potencial gravitacional

$$U = mgz,$$

onde  $z$  é a coordenada na direção vertical. Qual é a energia potencial média por partícula?

*Integrais úteis:*

$$\int_0^\infty e^{-ax} dx = \frac{1}{a}, \quad \int_0^\infty x e^{-ax} dx = \frac{1}{a^2}.$$

☒  $\langle U \rangle = k_B T.$

☐  $\langle U \rangle = k_B T/2.$

☐  $\langle U \rangle = 3k_B T.$

☐  $\langle U \rangle = 3k_B T/2.$

☐  $\langle U \rangle = 0.$